

# LINEALIZACIÓN Y REPRESENTACIÓN EN ESPACIO DE ESTADOS DE UN MODELO DE SUSPENSIÓN ACTIVA

## • INTRODUCCIÓN

La suspensión de un vehículo forma un sistema muy imperativo para un automóvil, y que ayuda a proporcionar sustento al motor, la carrocería del vehículo, los pasajeros y por otro lado se mitiga los temblores que surgen debido a la irregularidad de la superficie de la carretera. Un sistema de suspensión es una combinación de resortes, amortiguadores y articulaciones que es responsable de la conexión entre la carrocería de un vehículo y sus ruedas. Los muelles y amortiguadores que conectan el eje al chasis de la carrocería juegan un papel importante a la hora de minimizar las vibraciones.

## • ANALISIS Y DINAMICA DEL SISTEMA.

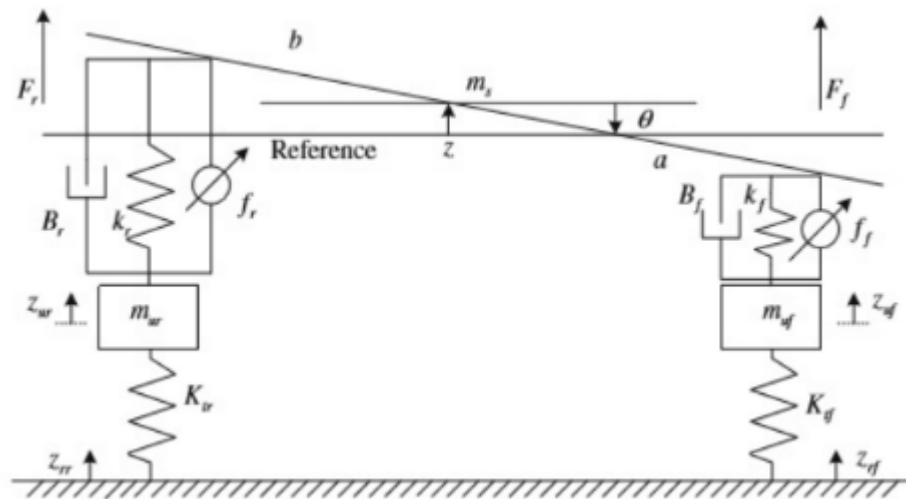


Figura 1: Diagrama de cuerpo libre de la mitad de un auto

Figura 1 ilustra el modelo de medio auto. Una sola masa suspendida (chasis) está conectada a dos masas no suspendidas (ambas ruedas) en cada esquina. El movimiento vertical y de cabeceo es aplicable para la masa suspendida, mientras que solo el movimiento vertical con chasis es aplicable para ambas masas de ruedas. Las suspensiones modeladas entre chasis y ambas ruedas son resortes y amortiguadores convencionales mientras que los neumáticos están diseñados como resortes convencionales sin humedad.

Al aplicar la ley de Newton de movimiento, se hallan las ecuaciones de estados; las siguientes ecuaciones de estado son derivadas.

## • RAZONES DE CAMBIO DE LOS ESTADOS

### Ecuación 1

$$\dot{x}_1 = x_2$$

### Ecuación 2

$$\dot{x}_2 = \frac{1}{m_s}[-(B_f + B_r)x_2 + (aB_f - bB_r)x_4 \cos x_3 - K_f x_5 + B_f x_6 - K_r x_7 + B_r x_8 + (f_f + f_r) + K_{tf} z_{rf} + K_{tr} x_{7rr}]$$

### Ecuación 3

$$\dot{x}_3 = x_4$$

### Ecuación 4

$$\dot{x}_4 = \frac{1}{J_y}[(aB_f - bB_r)x_2 \cos x_3 - (a^2 B_f + b^2 B_r)x_4 \cos^2 x_3 + aK_f x_5 \cos x_3 - aB_f x_6 \cos x_3 - bK_r x_7 \cos x_3 + bB_r x_8 \cos x_3 + (af_f + bf_r) \cos x_3 + K_{tf} z_{rf} + K_{tr} x_{7rr}]$$

### Ecuación 5

$$\dot{x}_5 = x_2 - a x_4 \cos x_3 - x_6$$

### Ecuación 6

$$\dot{x}_6 = \frac{1}{m_{uf}}[-K_{tf} x_1 + B_f x_2 + aK_{tf} \sin x_3 - aB_f x_4 \cos x_3 + (K_f + K_{tf})x_5 - B_f x_6 + K_{tf} z_{rf} - f_f]$$

### Ecuación 7

$$\dot{x}_7 = x_2 + b x_4 \cos x_3 - x_8$$

### Ecuación 8

$$\dot{x}_8 = \frac{1}{m_{ur}}[-K_{tr} x_1 + B_r x_2 - bK_{tr} \sin x_3 - bB_r x_4 \cos x_3 + (K_r + K_{tr})x_7 - B_r x_8 + K_{tr} z_{rr} - f_r]$$

## • ESTADOS.

ESTADOS	VARIABLES DE ESTADO	REPRESENTACIÓN FÍSICA
$x_1$	$z$	Desplazamiento vertical
$x_2$	$\dot{z}$	Velocidad vertical
$x_3$	$\theta$	Desplazamiento angular
$x_4$	$\dot{\theta}$	Velocidad angular
$x_5$	$z_{sf} - z_{uf}$	Desplazamiento suspensión frontal
$x_6$	$\dot{z}_{uf}$	Velocidad de la masa frontal no suspendida
$x_7$	$z_{sr} - z_{ur}$	Desplazamiento de la rueda de suspensión trasera
$x_8$	$\dot{z}_{ur}$	Velocidad de la masa trasera no suspendida

Tabla 1

## • PARAMETROS DEL SISTEMA.

Parametro	Valor nominal	Unidades	Descripción
<b>Ms</b>	690	kg	Masa del cuerpo del auto
<b>Bf</b>	1000	Ns/m	Amortiguador frontal
<b>Br</b>	1000	Ns/m	Amortiguador trasero
<b>Kf</b>	18000	N/m	Constante de amortiguamiento frontal
<b>Kr</b>	22000	N/m	Constante de amortiguamiento trasero
<b>Ktf</b>	200000	N/m	Constante de amortiguamiento neumático frontal
<b>Ktr</b>	200000	N/m	Constante de amortiguamiento neumático trasero
<b>Jy</b>	1222	kgm <sup>2</sup>	Momento de inercia
<b>a</b>	1,3	m	Distancia del eje delantero al centro de masa
<b>b</b>	1,5	m	Distancia del eje trasero al centro de masa
<b>Muf</b>	40	kg	Masa suspendida sobre el neumático frontal
<b>Mur</b>	45	kg	Masa suspendida sobre neumático trasero

Tabla 2 Constantes del sistema

### • PUNTOS DE EQUILIBRIO

Para obtener la matriz  $A, B, C$  y  $D$ , del espacio de estados, se hace uso de la función "jacobian(F,X)", la cual deriva parcialmente una función con respecto a una variable.

```
syms x1 x2 x3 x4 x5 x6 x7 x8 Ms Bf Br Kf Kr Ff Fr Ktf Ktr Zrf Zrr Jy a b Muf Mur
%f son las razones de cambio de los estados

f1 = x2;
f2 = (-(Bf+Br)*x2 + (a*Bf - b*Br)*x4*cos(x3) - Kf*x5 + Bf*x6 - Kr*x7 + Br*x8 + (Ff+Fr) + Ktf*Zr);
f3 = x4;
f4 = ((a*Bf - b*Br)*x2*cos(x3) - (a^2*Bf + b^2*Br)*x4*cos(x3)^2 + a*Kf*x5*cos(x3) - a*Bf*x6*cos(x3) - b*Kr*x7*cos(x3) + b*Br*x8*cos(x3) - (a^2*Kf + b^2*Kr)*x4*cos(x3)^2 + a*(Ff+Fr)*cos(x3) - b*(Ff+Fr)*cos(x3));
f5 = x2 - a*x4*cos(x3) - x6;
f6 = (-Ktf*x1 + Bf*x2 + a*Ktf*sin(x3) - a*Bf*x4*cos(x3) + (Kf + Ktf)*x5 - Bf*x6 + Ktf*Zrf - Ff);
f7 = x2 + b*x4*cos(x3) - x8;
```

```
f8 = (-Ktr*x1 + Br*x2 -b*Ktr*sin(x3) - b*Br*x4*cos(x3) + (Kr + Ktr)*x7 - Br*x8 + Ktr*Zrr -Fr)/M
```

```
F = [f1; f2; f3; f4; f5; f6; f7; f8];
```

```
X = [x1; x2; x3; x4; x5; x6; x7; x8];
```

```
u = [Ff; Fr; Zrf ;Zrr]; %Zrf y Zrr son perturbaciones
```

```
Y = [x1; x3];
```

```
A = simplify(jacobian(F,X))
```

A =

$$\begin{pmatrix} 0 & 1 & 0 \\ 0 & -\frac{Bf + Br}{Ms} & -\frac{x_4 \sin(x_3) \sigma_1}{Ms} \\ 0 & 0 & 0 \\ 0 & \frac{\cos(x_3) \sigma_1}{Jy} - \frac{\sin(x_3) (Ff a + Fr b) + x_2 \sin(x_3) \sigma_1 - x_4 \sin(2 x_3) \sigma_2 - Bf a x_6 \sin(x_3) + Br b x_8}{Jy} \\ 0 & 1 & a x_4 \sin(x_3) \\ -\frac{Ktf}{Muf} & \frac{Bf}{Muf} & \frac{a (Ktf \cos(x_3) + Bf x_4 \sin(x_3))}{Muf} \\ 0 & 1 & -b x_4 \sin(x_3) \\ -\frac{Ktr}{Mur} & \frac{Br}{Mur} & -\frac{b (Ktr \cos(x_3) - Br x_4 \sin(x_3))}{Mur} \end{pmatrix}$$

where

$$\sigma_1 = Bf a - Br b$$

$$\sigma_2 = Bf a^2 + Br b^2$$

$$\sigma_3 = Br b \cos(x_3)$$

$$\sigma_4 = Bf a \cos(x_3)$$

```
B = jacobian(F,u)
```

B =

$$\begin{pmatrix} 0 & 0 & 0 & 0 \\ \frac{1}{M_s} & \frac{1}{M_s} & \frac{K_{tf}}{M_s} & \frac{K_{tr}}{M_s} \\ 0 & 0 & 0 & 0 \\ \frac{a \cos(x_3)}{J_y} & \frac{b \cos(x_3)}{J_y} & \frac{K_{tf}}{J_y} & \frac{K_{tr}}{J_y} \\ 0 & 0 & 0 & 0 \\ -\frac{1}{M_{uf}} & 0 & \frac{K_{tf}}{M_{uf}} & 0 \\ 0 & 0 & 0 & 0 \\ 0 & -\frac{1}{M_{ur}} & 0 & \frac{K_{tr}}{M_{ur}} \end{pmatrix}$$

**C = jacobian(Y,X)**

$$C = \begin{pmatrix} 1 & 0 & 0 & 0 & 0 & 0 & 0 & 0 \\ 0 & 0 & 1 & 0 & 0 & 0 & 0 & 0 \end{pmatrix}$$

**D = jacobian(Y,u)**

$$D = \begin{pmatrix} 0 & 0 & 0 & 0 \\ 0 & 0 & 0 & 0 \end{pmatrix}$$

Pero en este sistema se presenta un mayor número de variables que de ecuaciones; para poder linealizar es necesario parametrizar los puntos de equilibrio alrededor de 4 variables. Para esto se procede a trabajar con las ecuaciones diferenciales del sistema, donde las razones de cambio de las variables de estado se igualan a cero.

De las ecuaciones **1,3,5,7** se tiene los siguientes resultados para **x2,x4,x6** y **x8**.

$$x_2 = 0 \quad x_4 = 0 \quad x_6 = 0 \quad x_8 = 0$$

De las ecuaciones **2,4,6** y **8** se obtiene las siguientes ecuaciones, donde se va asumir como constantes los términos de **x1,x3,Zrf** y **Zrr**, para obtener un sistema de ecuaciones de **4x4**. El resultado del sistema de ecuaciones da como resultado **x5,x7** y las dos entradas **Ff** y **Fr**.

#### Ecuación 9

$$\frac{-K_{tf} * Z_{rf} - K_{tr} * Z_{rr}}{M_s} = \frac{-K_f * x_5}{M_s} - \frac{K_r * x_7}{M_s} + \frac{F_f}{M_s} + \frac{F_r}{M_s}$$

#### Ecuación 10

$$\frac{-K_{tf} * Z_{rf} - K_{tr} * Z_{rr}}{J_y} = \frac{a * K_f * \cos(x_3) * x_5}{J_y} - \frac{b * K_r * \cos(x_3) * x_7}{J_y} + \frac{a * \cos(x_3) F_f}{J_y} + \frac{b * \cos(x_3) F_r}{J_y}$$

#### Ecuación 11

$$\frac{-K_{tf} * x_1 - a * K_{tf} * \sin(x_3) - K_{tf} * Z_{rf}}{M_{uf}} = \frac{(K_f + K_{tf}) * x_5}{M_{uf}} - \frac{F_f}{M_{uf}}$$

## Ecuación 12

$$\frac{-K_{tr} * x_1 + b * K_{tr} * \sin(x_3) - K_{tr} * Z_{rr}}{M_{ur}} = -\frac{(K_r + K_{tr}) * x_7}{M_{ur}} - \frac{F_r}{M_{ur}}$$

Para resolver el sistema de ecuaciones se uso el metodo de matriz inversa

```
P= [-Kf/Ms -Kr/Ms 1/Ms 1/Ms;  
      (a*Kf*cos(x3))/Jy (-b*Kr*cos(x3))/Jy (a*cos(x3))/Jy (b*cos(x3))/Jy;  
      (Kf+Ktf)/Muf 0 -1/Muf 0;  
      0 (Kr+Ktr)/Mur 0 -1/Mur];
```

```
Q = [(-Ktf*Zrf-Ktr*Zrr)/Ms;  
      (-Ktf*Zrf-Ktr*Zrr)/Jy;  
      (Ktf*x1-a*Ktf*sin(x3) - Ktf*Zrf)/Muf;  
      (Ktr*x1+b*Ktr*sin(x3) - Ktr*Zrr)/Mur];
```

```
R = simplify(inv(P)*Q)
```

R =

$$\begin{pmatrix} \frac{b \sigma_1}{\sigma_4} - \frac{\sigma_1}{\cos(x_3) \sigma_4} - \frac{K_{tf} (a - b) \sigma_2}{\sigma_4} \\ x_1 - Z_{rr} + b \sin(x_3) - \frac{a (2 K_f + K_{tf}) \sigma_1}{K_{tr} \sigma_4} + \frac{K_{tf} \sigma_1}{\sigma_3} - \frac{2 K_f K_{tf} a \sigma_2}{K_{tr} \sigma_4} \\ \frac{b \sigma_1 (K_f + K_{tf})}{\sigma_4} - \frac{\sigma_1 (K_f + K_{tf})}{\cos(x_3) \sigma_4} + \frac{K_f K_{tf} (a + b) \sigma_2}{\sigma_4} \\ K_r (x_1 - Z_{rr} + b \sin(x_3)) - \frac{a (2 K_f + K_{tf}) \sigma_1 (K_r + K_{tr})}{K_{tr} \sigma_4} + \frac{K_{tf} \sigma_1 (K_r + K_{tr})}{\sigma_3} - \frac{2 K_f K_{tf} a (K_r + K_{tr})}{K_{tr} \sigma_4} \end{pmatrix}$$

where

$$\sigma_1 = K_{tf} Z_{rf} + K_{tr} Z_{rr}$$

$$\sigma_2 = Z_{rf} - x_1 + a \sin(x_3)$$

$$\sigma_3 = K_{tr} \cos(x_3) \sigma_4$$

$$\sigma_4 = 2 K_f a + K_{tf} a - K_{tf} b$$

(inv(P)\*Q)

ans =

$$\begin{pmatrix} \frac{b \sigma_3}{\sigma_2} - \frac{(a-b) \sigma_4}{\sigma_2} - \frac{\sigma_3}{\cos(x_3) \sigma_2} \\ \frac{\sigma_5}{Ktr} - \frac{\sigma_3 \sigma_6}{\sigma_1} + \frac{Ktf \sigma_3}{\cos(x_3) \sigma_1} - \frac{2 Kf a \sigma_4}{\sigma_1} \\ \frac{\sigma_3 (Kf b + Ktf b)}{\sigma_2} + \frac{(Kf a + Kf b) \sigma_4}{\sigma_2} - \frac{\sigma_3 (Kf + Ktf)}{\cos(x_3) \sigma_2} \\ \frac{Kr \sigma_5}{Ktr} - \frac{2 (Kf Kr a + Kf Ktr a) \sigma_4}{\sigma_1} + \frac{(Kr Ktf + Ktf Ktr) \sigma_3}{\cos(x_3) \sigma_1} - \frac{\sigma_3 \sigma_6 (Kr + Ktr)}{\sigma_1} \end{pmatrix}$$

where

$$\sigma_1 = 2 Kf Ktr a + Ktf Ktr a - Ktf Ktr b$$

$$\sigma_2 = 2 Kf a + Ktf a - Ktf b$$

$$\sigma_3 = Ktf Zrf + Ktr Zrr$$

$$\sigma_4 = Ktf Zrf - Ktf x_1 + Ktf a \sin(x_3)$$

$$\sigma_5 = Ktr x_1 - Ktr Zrr + Ktr b \sin(x_3)$$

$$\sigma_6 = 2 Kf a + Ktf a$$

#### • MODELO NUMERICO LINEAL

Obtenidas las expresiones del punto de equilibrio, se procede a realizar el modelo de espacio número. Para esto vamos a utilizar el comando '**subs**', para poder actualizar datos de las matrices **A,B,C** y **D**.

```
Msn = 690;
Bfn = 1000;
Brn = 1000;
Kfn = 18000;
Krn = 22000;
Ktfn = 200000;
Ktrn = 200000;
Jyn = 1222;
an = 1.3;
bn = 1.5;
Mufn = 40;
Murn = 45;
x10n = 0.2;
x30n = 0.1;
Zrfn = 0.001;
Zrrn = 0.002;
Rpn = double(subs(R,{x1,x3,Zrf,Zrr,Ms,Bf,Br,Kf,Kr,Ktf,Ktr,Jy,a,b,Muf,Mur},{x10n,x30n,Zrfn,Zrrn,
```

```

x20n = 0;
x40n = 0;
x50n = Rpn(1);
x60n = 0;
x70n = Rpn(2);
x80n = 0;
Ff0n = Rpn(3);
Fr0n = Rpn(4);

```

```

Apn = double(subs(A,{x1,x2,x3,x4,x5,x6,x7,x8,Ff,Fr,Zrf,Zrr,Ms,Bf,Br,Kf,Kr,Ktf,Ktr,Jy,a,b,Muf,Mu
Bpn = double(subs(B,{x1,x2,x3,x4,x5,x6,x7,x8,Ff,Fr,Zrf,Zrr,Ms,Bf,Br,Kf,Kr,Ktf,Ktr,Jy,a,b,Muf,Mu
Cpn = double(subs(C,{x1,x2,x3,x4,x5,x6,x7,x8,Ff,Fr,Zrf,Zrr,Ms,Bf,Br,Kf,Kr,Ktf,Ktr,Jy,a,b,Muf,Mu
Dpn = double(subs(D,{x1,x2,x3,x4,x5,x6,x7,x8,Ff,Fr,Zrf,Zrr,Ms,Bf,Br,Kf,Kr,Ktf,Ktr,Jy,a,b,Muf,Mu

```

```
sys=ss(Apn,Bpn,Cpn,Dpn)
```

```
sys =
```

```
A =
```

	x1	x2	x3	x4
x1	0	1	0	0
x2	0	-2.899	0	-0.2884
x3	0	0	0	1
x4	0	-0.1628	0.04926	-3.192
x5	0	1	0	-1.294
x6	-5000	25	6468	-32.34
x7	0	1	0	1.493
x8	-4444	22.22	-6633	-33.17

	x5	x6	x7	x8
x1	0	0	0	0
x2	-26.09	1.449	-31.88	1.449
x3	0	0	0	0
x4	19.05	-1.059	-26.87	1.221
x5	0	-1	0	0
x6	5450	-25	0	0
x7	0	0	0	-1
x8	0	0	4933	-22.22

```
B =
```

	u1	u2	u3
x1	0	0	0
x2	0.001449	0.001449	289.9
x3	0	0	0
x4	0.001059	0.001221	163.7
x5	0	0	0
x6	-0.025	0	5000
x7	0	0	0
x8	0	-0.02222	0

	u4
x1	0
x2	289.9
x3	0
x4	163.7
x5	0
x6	0
x7	0
x8	4444

```
C =
```

x1	x2	x3	x4	x5	x6	x7	x8
----	----	----	----	----	----	----	----



y1	1	0	0	0	0	0	0	0
y2	0	0	1	0	0	0	0	0

D =				
	u1	u2	u3	u4
y1	0	0	0	0
y2	0	0	0	0

Continuous-time state-space model.

Para saber si el sistema es estable o no, se procede a a buscar los valores propios de la matriz **A**, matriz de estados.

```
eig(Apn)
```

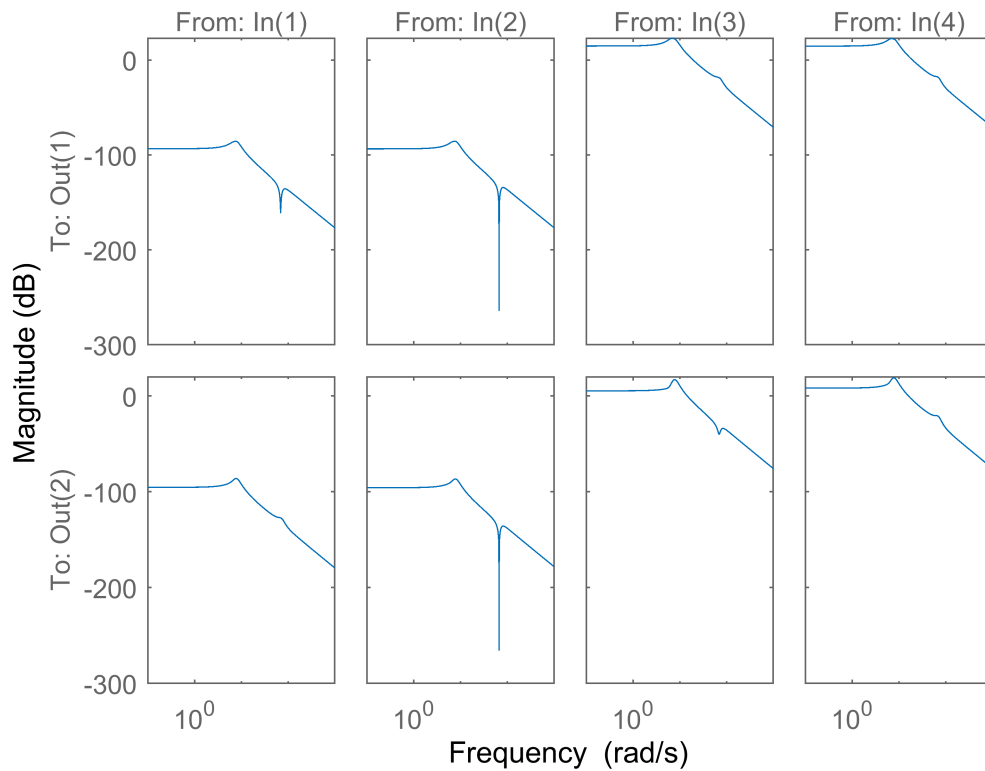
```
ans = 8x1 complex
-12.7167 +72.3261i
-12.7167 -72.3261i
-11.2436 +69.4840i
-11.2436 -69.4840i
-1.1701 + 6.7402i
-1.1701 - 6.7402i
-1.5261 + 7.8994i
-1.5261 - 7.8994i
```

#### • MODELO DISCRETO LINEAL

Primer paso para transofrmar el modelo continuo a uno discreto, es buscar un tiempo de muestreo adecuado; para esto se va implementar el comando '**bodemag**', el cuál nos permitira obtener un diagrama de bode del sistema de espacio de estados.

```
bodemag(sys)
```

### Bode Diagram



Como el sistema presenta varios picos de resonancia, se procede a escoger una frecuencia mayor a la de estos picos, en este caso es de 137 [rad/s].

```
w=137;
ws=w;
Tm=2*pi/w
```

$T_m = 0.0459$

Usando el comando '**c2d**' discretizamos el sistema de espacio de estados.

```
sysd = c2d(sys,Tm)
```

sysd =

```
A =
      x1      x2      x3
x1    0.8711    0.04287 -0.01009
x2   -5.881     0.86   -0.6369
x3  -0.006474 -0.0002175  0.8599
x4   -0.4265   -0.00996  -6.36
x5    1.348    0.03321  -1.732
x6    6.101    0.06418  -7.708
x7    1.333    0.03206  1.913
x8    0.0001608  0.1202  3.115

      x4      x5      x6
x1  -0.001297  0.0447  0.0005844
x2  -0.05917   2.042  0.004183
x3   0.0418   -0.03208 -0.000411
x4   0.8115   -1.438  -0.002207
```

x5	-0.04261	-0.5044	0.002323
x6	-0.07835	-7.08	-0.5325
x7	0.06568	-0.01885	-0.0002526
x8	0.2561	0.8576	-0.001216

	x7	x8
x1	0.03883	0.0006658
x2	1.953	0.006914
x3	0.03264	0.0005583
x4	1.638	0.005693
x5	-0.002663	-4.156e-05
x6	-0.04733	-0.0001261
x7	-0.518	0.001751
x8	-1.452	-0.5903

B =

	u1	u2	u3
x1	1.113e-06	1.12e-06	0.3543
x2	4.614e-05	4.574e-05	15.13
x3	1.279e-06	9.4e-07	0.1145
x4	5.42e-05	3.833e-05	4.723
x5	6.787e-06	-7.466e-08	-1.281
x6	3.107e-05	-8.482e-07	-5.242
x7	2.997e-06	9.655e-06	0.4664
x8	4.737e-06	1.517e-05	3.404

	u4
x1	0.3523
x2	15.17
x3	0.2147
x4	9.26
x5	0.05806
x6	0.7265
x7	-0.8119
x8	1.168

C =

	x1	x2	x3	x4	x5	x6	x7	x8
y1	1	0	0	0	0	0	0	0
y2	0	0	1	0	0	0	0	0

D =

	u1	u2	u3	u4
y1	0	0	0	0
y2	0	0	0	0

Sample time: 0.045863 seconds  
Discrete-time state-space model.

GL = sysd.a

GL = 8×8

0.8711	0.0429	-0.0101	-0.0013	0.0447	0.0006	0.0388	0.0007
-5.8810	0.8600	-0.6369	-0.0592	2.0420	0.0042	1.9527	0.0069
-0.0065	-0.0002	0.8599	0.0418	-0.0321	-0.0004	0.0326	0.0006
-0.4265	-0.0100	-6.3595	0.8115	-1.4378	-0.0022	1.6382	0.0057
1.3479	0.0332	-1.7316	-0.0426	-0.5044	0.0023	-0.0027	-0.0000
6.1007	0.0642	-7.7081	-0.0784	-7.0801	-0.5325	-0.0473	-0.0001
1.3328	0.0321	1.9134	0.0657	-0.0189	-0.0003	-0.5180	0.0018
0.0002	0.1202	3.1146	0.2561	0.8576	-0.0012	-1.4518	-0.5903

HL = sysd.b

HL = 8×4

0.0000	0.0000	0.3543	0.3523
0.0000	0.0000	15.1344	15.1715
0.0000	0.0000	0.1145	0.2147
0.0001	0.0000	4.7232	9.2595
0.0000	-0.0000	-1.2812	0.0581
0.0000	-0.0000	-5.2423	0.7265
0.0000	0.0000	0.4664	-0.8119
0.0000	0.0000	3.4039	1.1678

Comparando el sistema continuo con el discreto, ante una entrada escalón, se obtiene la siguientes graficas.

```
subplot(2,4,1),step(sys(1,1),sysd(1,1)),title('Entrada 1 Ff'),ylabel('Desplzamiento vertical[m]')
subplot(2,4,5),step(sys(2,1),sysd(2,1)),title('Entrada 1 Ff'),ylabel('Desplzamiento angular[rad]')
subplot(2,4,2),step(sys(1,2),sysd(1,2)),title('Entrada 2 Fr'),ylabel('Desplzamiento vertical[m]')
subplot(2,4,6),step(sys(2,2),sysd(2,2)),title('Entrada 2 Fr'),ylabel('Desplzamiento angular[rad]')
subplot(2,4,3),step(sys(1,3),sysd(1,3)),title('Perturbación 1 Zrf'),ylabel('Desplzamiento vertical[m]')
subplot(2,4,7),step(sys(2,3),sysd(2,3)),title('Perturbación 1 Zrf'),ylabel('Desplzamiento angular[rad]')
subplot(2,4,4),step(sys(1,4),sysd(1,4)),title('Perturbación 2 Zrr'),ylabel('Desplzamiento vertical[m]')
subplot(2,4,8),step(sys(2,4),sysd(2,4)),title('Perturbación 2 Zrr'),ylabel('Desplzamiento angular[rad]')
```

